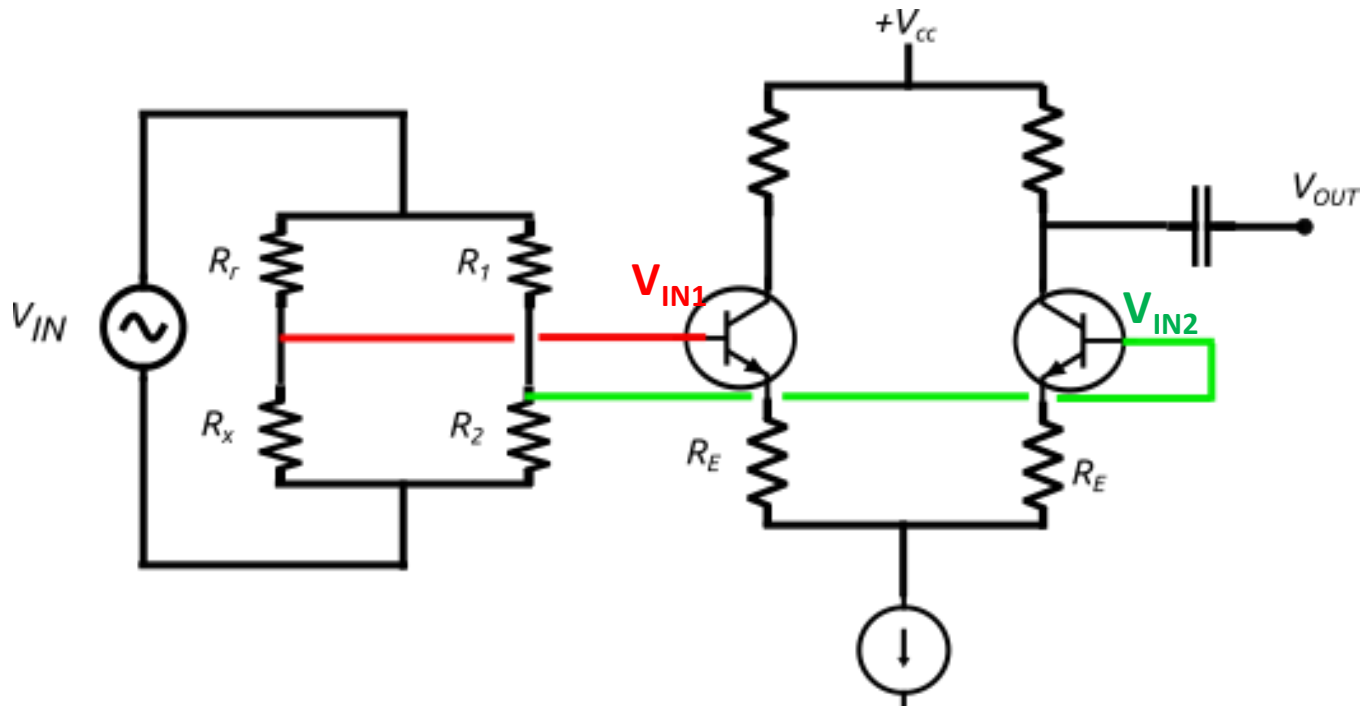


Laboratorio II

Appunti Esperienza 10 (ponte di Wheatstone)

Lezione, 18 marzo 2019



Uscita ponte

(circuito aperto, ie amp con Z_{IN} infinita)

Differenziale:

$$\Delta V = V_{IN} \left[\frac{-R_R}{R_R + R_x} + \frac{R_1}{R_1 + R_2} \right]$$

Modo

comune:

$$\bar{V} \approx V_{IN} \frac{R_2}{R_1 + R_2}$$


Amplificatore differenziale:

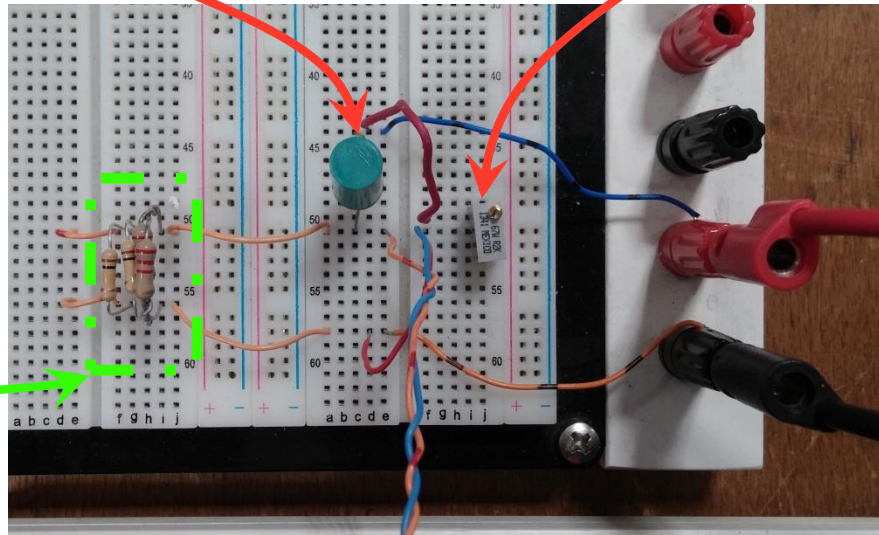
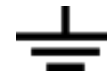
$$V_{OUT} = G_{DIFF} \Delta V_{IN} + G_{CM} \bar{V}$$

Ponte di Wheatstone: Implementazione suggerita

R_R 1 kΩ
(+/- 0.1%, 1 ppm/°C)

R_1 / R_2
2 k Ω trimmer

R_x 
(facile aggiungere /
togliere R o C in
parallelo)

 V_{IN}  ΔV

(twisted pair)

amp diff

NB: Dati presentati nelle pagine seguenti hanno invece usato:

$$R_x = 235 \, \Omega \text{ nominale (5\%)}$$
$$R_r = 100 \, \Omega \text{ nominale (5 \%)}$$

R_1 / R_2 trimmer 10 kW

VIN = 500 mV pp (impostazione generatore Agilent)

Trigger: SYNC del generatore

Ponte bilanciato : calcolo Rx

$\Delta V_{OUT}=0$ per:

$$R_x = R_R \frac{R_2}{R_1}$$

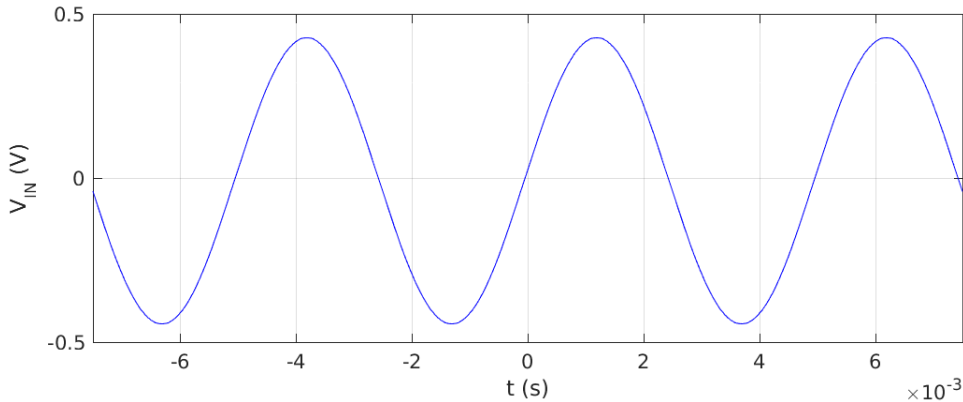
Possibili errori sistematici:

- Guadagno modo comune non nullo
→ output sensibile anche a V_{CM} , non solo ΔV
- Ponte non bilanciato perfettamente (V_{OUT} non nulla)

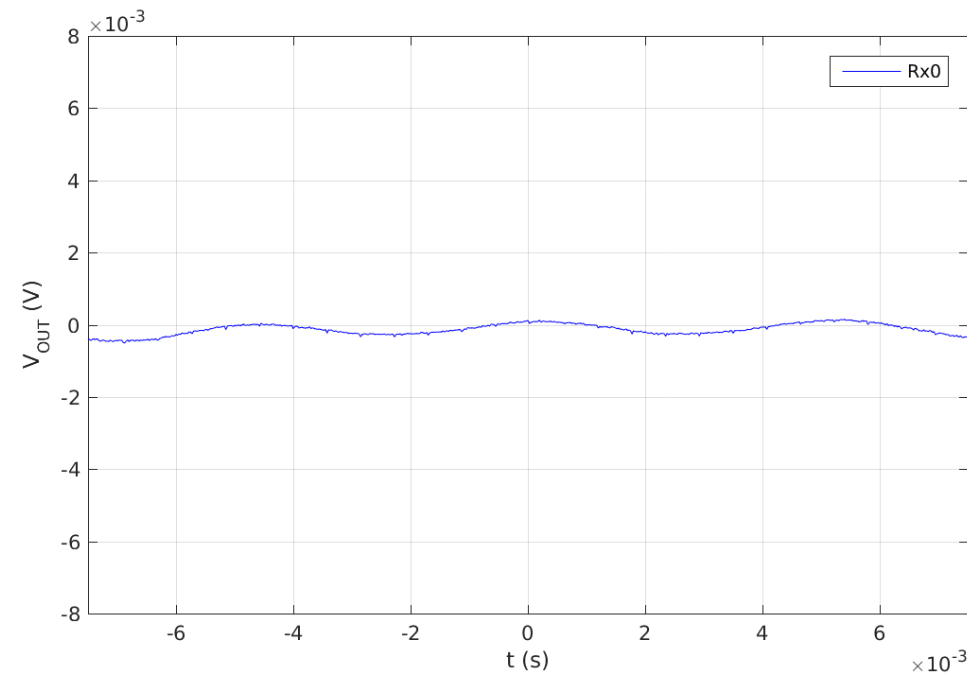
$$R_x = R_R \frac{R_2}{R_1} + \frac{\Re(V_{OUT}) - \Re(G_{CM})V_{IN} \frac{R_2}{R_1 + R_2}}{\frac{\partial \Re(V_{OUT})}{\partial R_x}}$$

- Misura imperfetta (instabilità) del riferimento R_R oppure di (R_2 / R_1)
- Suggerito misura «a 4 fili» dei resistori con DMM

Esempio dati Ponte di Wheatstone: calibrazione per piccoli cambiamenti δR_x , δC_x



serie temporale INPUT

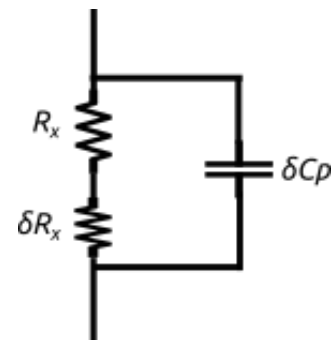
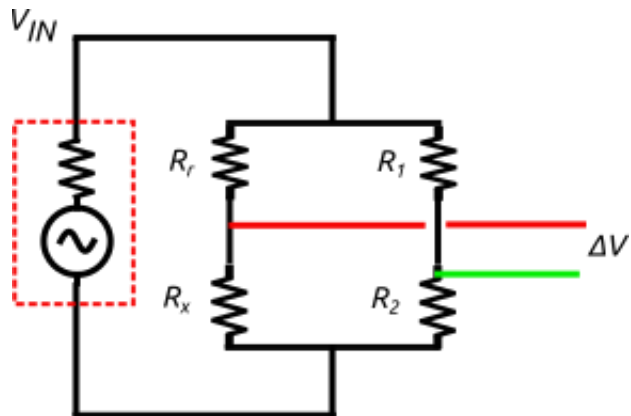


serie temporale OUTPUT

ponte «bilanciato» ($V_{OUT} < 0.001 V_{IN}$),
anche con V_{OUT} amplificato (x30)

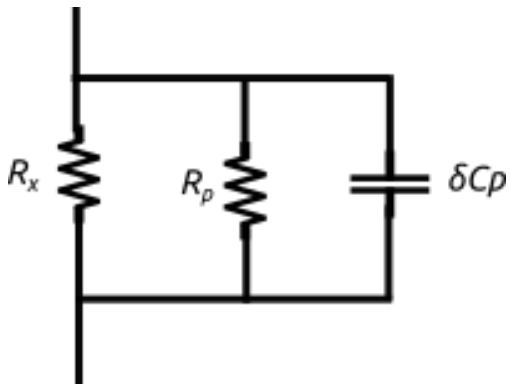
Ponte di Wheatstone:

sensibilità a piccoli cambiamenti di δR_x , δC_x



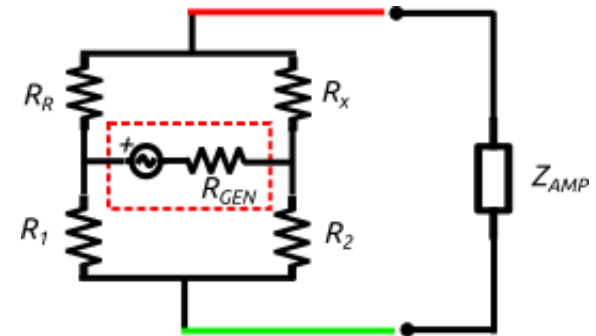
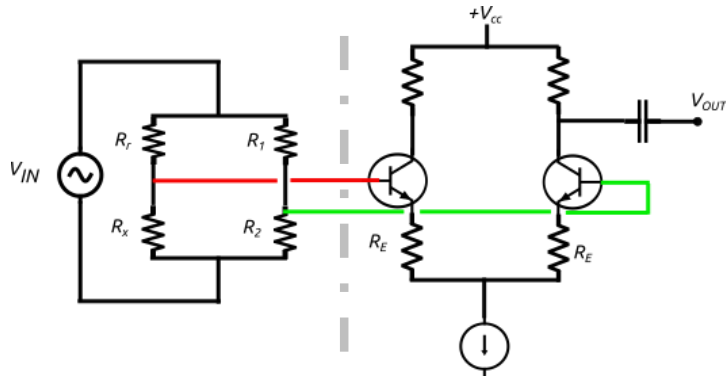
$$\Delta V \approx V_{IN} \frac{R_R}{(R_R + R_{x0})^2} [\delta R_x - j(\omega R_{x0} \delta C_x) R_{x0}]$$

Configurazione per calibrare il ponte:

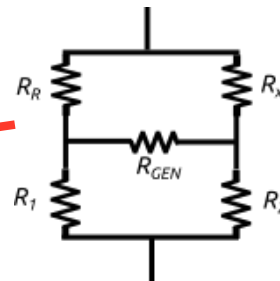


$$\delta Z_x \approx \delta R_x - j\omega R_{x0} \delta C_x \approx -\frac{R_p}{R_{x0}^2} - (j\omega R_{x0} \delta C_x) R_{x0}$$

Output ponte Wheatstone: circuito equivalente con impedenza

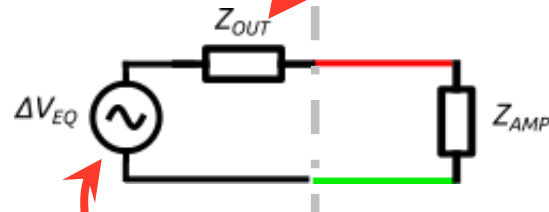


ponte «visto»
dall'amplificatore



per $R_{GEN} \ll R_x, R_r, R_1, R_2$

$$Z_{OUT}^{PONTE} \approx (R_x \parallel R_r) + (R_1 \parallel R_2)$$

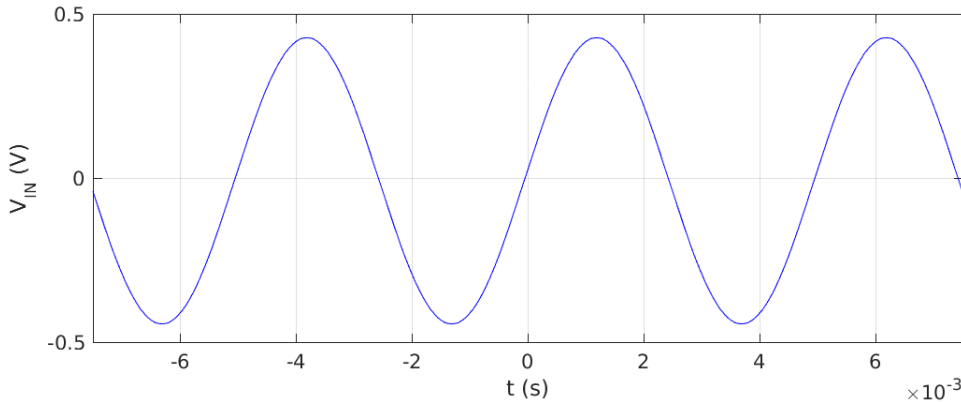


segnale
differenziale
(circuito aperto)

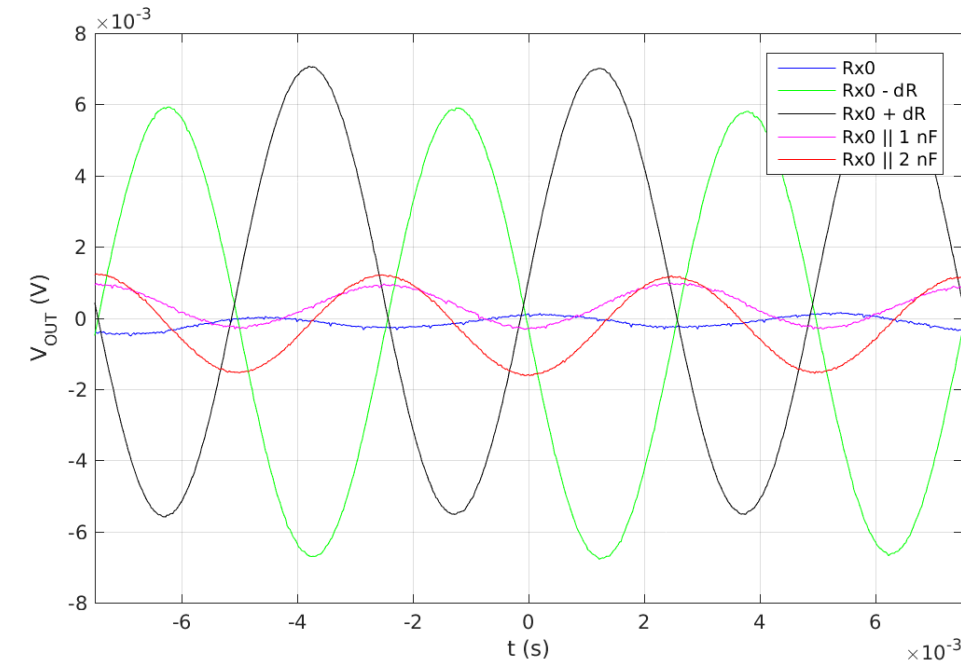
$$\Delta V \approx V_{IN} \frac{R_r}{(R_r + R_{x0})^2} [\delta R_x - j(\omega R_{x0} \delta C_x) R_{x0}]$$

$$Z_{IN} \approx 2\beta(R_E + r_e)$$

Esempio dati Ponte di Wheatstone: calibrazione per piccoli cambiamenti δR_x , δC_x



serie temporale INPUT



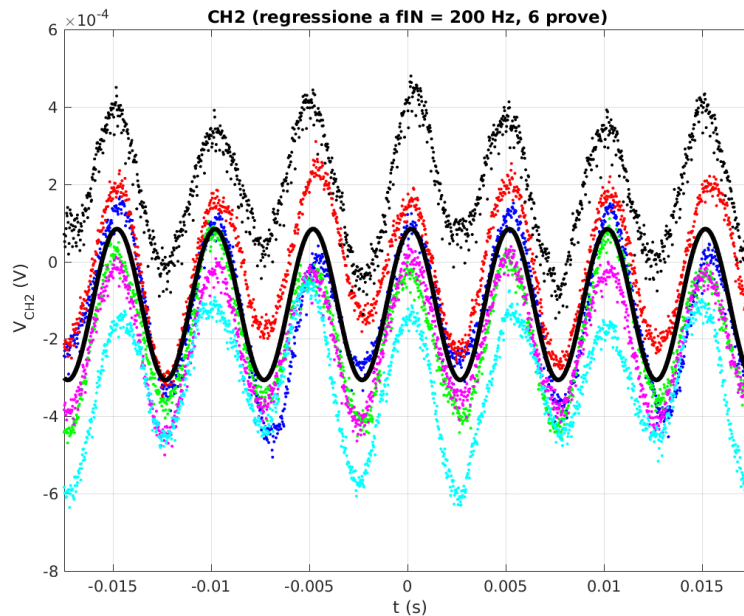
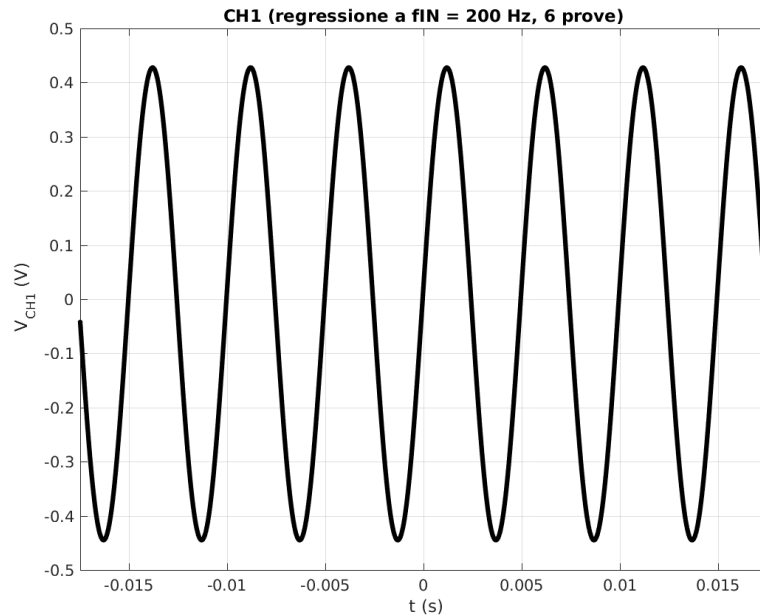
serie temporale OUTPUT

$$\Delta V \approx V_{IN} \frac{R_R}{(R_R + R_{x0})^2} [\delta R_x - j(\omega R_{x0} \delta C_x) R_{x0}]$$

segnale δR_x in
fase con V_{IN}

segnale δC_x
«sfasato» di 90°
rispetto V_{IN}

Esempio dati: serie temporale con ponte «bilanciato»



- livello «DC» cambia di $500 \mu V$
 - variazioni ampiezze sin/cosine a $f_{MOD} = 200$ Hz ordine $10 \mu V$
- Per misura coerente, risoluzione ampiezza f_{MOD} poco sensibile a rumore ad altre frequenze, compreso DC
- NB visibile modulazione a 50 Hz (utile analizzare un numero intero di cicli a 50 Hz)

Per 6 prove:

$$\text{Re}(V_{OUT}) = 45 \pm 7 \mu V$$

$$\text{Im}(V_{OUT}) = 190 \pm 2 \mu V$$

NB: segnale residuo in gran parte «sfasato» di 90° rispetto a V_{IN}

→ parte capacitiva ponte non bilanciato perfettamente

Proposta analisi dati: estrazione ampiezza e fase

$$V_{OUT}(t) = V_0 + A \cos \omega t + B \sin \omega t = V_0 + C \cos(\omega t + \phi) = V_0 + C \cos \omega(t - t_0)$$

$$\text{con } C = [A^2 + B^2]^{1/2}, \phi = \tan^{-1}\left(-\frac{B}{A}\right) \quad t_0 = -\left(\frac{\phi}{\omega}\right)$$

- Per facilitare analisi / confronto modello, si consiglia di «ruotare la fase» – aggiustare t_0 – per essere 0° per V_{IN} (ripetendo il fit):

```
>> [fit]=fit_sine_poly(t,vin,0,f0);  
>> A = fit(2); B = fit(3); phi = -atan2(B,A);  
>> [fit_IN]=fit_sine_poly(t,vin,0,f0,'t0',-phi/(2*pi*f0));  
>> [fit_OUT]=fit_sine_poly(t,vout,0,f0,'t0',-phi/(2*pi*f0));
```

Oppure (mediando su un gruppo di prove segnali):

```
>> [ain, bin, aout, bout] = media_segnale(file_name ,f0,'nop1');  
>> phi = -atan2(bin, ain);  
>> [ain, bin, aout, bout,dain, dbin, daout, dbout] = ...  
    media_segnale(file_name, f0,'t0',-phi / (2*pi*f0));
```

- fase V_{OUT} sarà relativa alla fase di V_{IN} e possiamo esprimere i segnali:

$$V_{IN}(t) = V_0' + V_{IN} \cos \omega(t - t_0)$$
$$V_{OUT}(t) = V_0' + \text{Re}(V_{OUT}) \cos \omega(t - t_0) - \text{Im}(V_{OUT}) \sin \omega(t - t_0)$$

Conversione componenti fit → output da confrontare con modello

$$V_{IN}(t) = V_{0IN} + A_{IN} \cos \omega t'$$

$$\begin{aligned} V_{OUT}(t) &= V_{0OUT} + A_{OUT} \cos \omega t' + B_{OUT} \sin \omega t' \\ &= V_{0OUT} + C_{OUT} \cos(\omega t' + \phi) = V_{0OUT} + C_{OUT} \cos \phi \cos \omega t' - C_{OUT} \sin \phi \sin \omega t' \\ &= V_{0OUT} + \operatorname{Re}(V_{OUT}) \cos \omega t' - \operatorname{Im}(V_{OUT}) \sin \omega t' \end{aligned}$$

$$\operatorname{Re}(V_{OUT}) = A_{OUT}$$

$$\operatorname{Im}(V_{OUT}) = -B_{OUT}$$

Componenti «reale» -- in fase con input – e
«immaginaria» – 90° in anticipo del input

$$V_{OUT}(\omega) = \operatorname{Re}(V_{OUT}) + j \operatorname{Im}(V_{OUT}) = A_{OUT} - jB_{OUT} = C_{OUT} \exp j\phi$$

Valore atteso:

$$V_{OUT}(\omega) = H(\omega) V_{IN}(\omega) = V_{IN} \frac{R_R}{(R_{x0} + R_R)^2} [\delta R_x - (j\omega R_{x0} \delta C_x) R_{x0}] \frac{Z_{IN}^{AMP}}{Z_{IN}^{AMP} + Z_{OUT}^{PONTE}} G_{DIFF}(\omega)$$

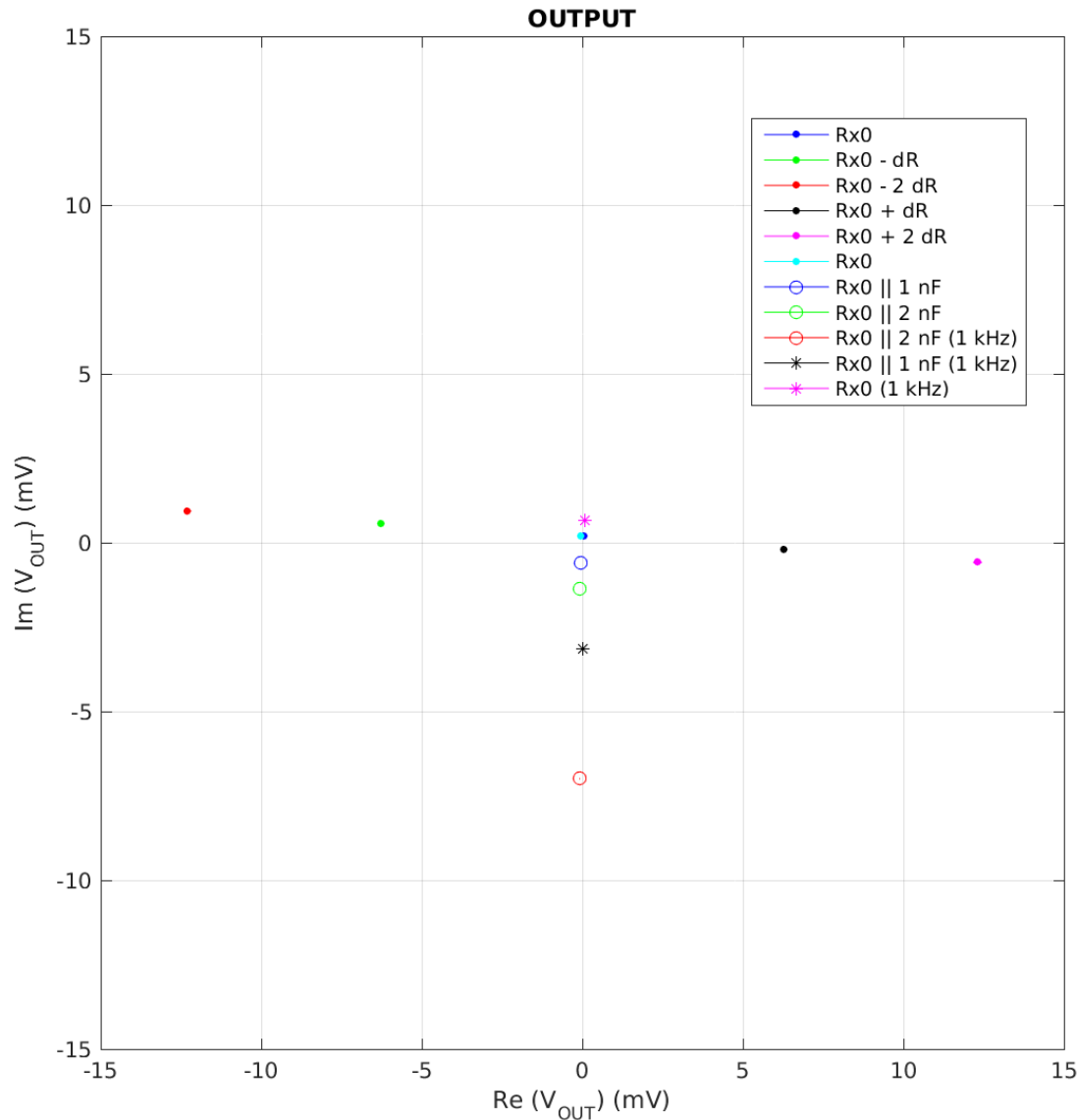
tensione ingresso
(misurato)

risposta ponte
Wheatstone

partitore
impedenza

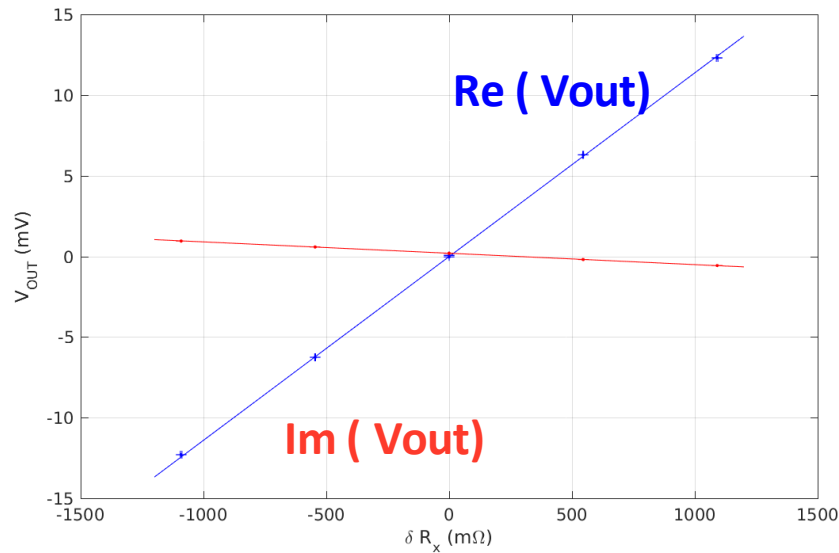
guadagno amp
differenziale

Esempi dati calibrazione



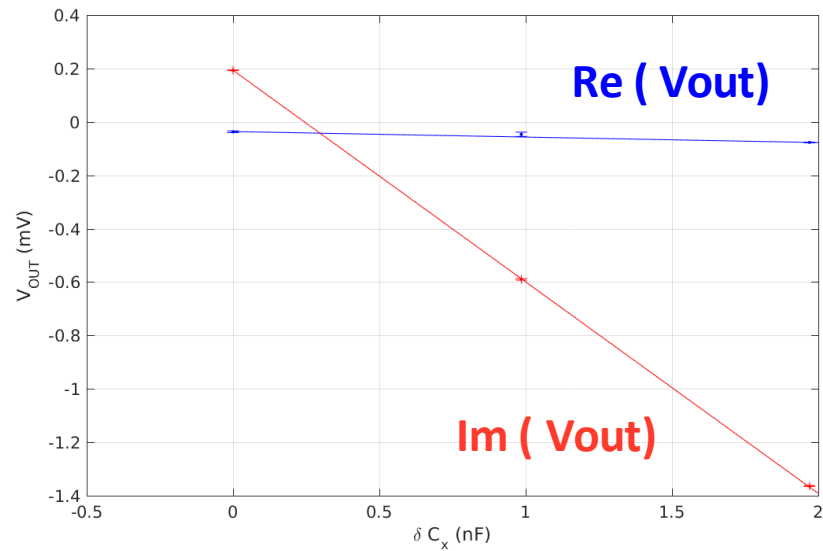
- Cambio di resistenza δR_x
→ segnale in fase
- Cambio di capacità δC_x
→ segnale a -90°
- Visibile piccolo (3°) rotazione della fase attesa per δR_x
→ non spiegato

Esempio dati calibrazione



Valori misurati:

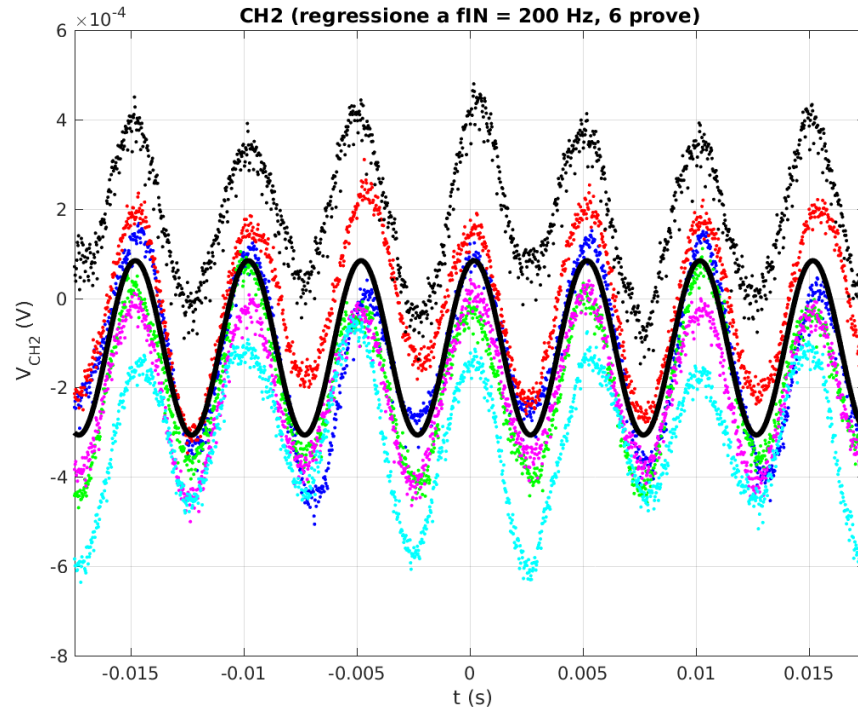
$$\frac{\partial}{\partial \delta R_x} \text{Re}(V_{OUT}) = 11.4 \pm 0.1 \text{ mV}/\Omega$$
$$\frac{\partial}{\partial \delta C_x} \text{Im}(V_{OUT}) = -0.79 \pm 0.01 \text{ mV/nF}$$



In accordo con modello entro 2-3%

NB: fit non belli (χ^2_r circa 50 per δR_x)
→ la resistenza non è stabile al livello del rumore statistico (NB variabilità nei contatti importanti)

Qual'è il minimo cambio in Rx che possiamo risolvere? (in pochi acquisizioni con l'oscilloscopio)



$$\begin{aligned} \text{Re}(V_{OUT}) &= 59 \pm 7 \mu\text{V} \\ \text{Im}(V_{OUT}) &= -186 \pm 3 \mu\text{V} \end{aligned}$$

$$\frac{\partial}{\partial \delta R_x} \text{Re}(V_{OUT}) \approx 11 \text{ mV} / \Omega$$

NB: basato su pochi campioni (6)
→ Differenza scarto Re / Im probabilmente un caso

→ Errore per 6 prove in < 1 minuto
→ non implica stabilità della misura (ppm!) su lungo termine! Rx cambia con temperatura, contatti meccanici ...
→ Si potrebbe usare Re(VOUT) per ogni valore dRx per stimare Rx (idee della stabilità misura in diverse ore, diverse connessioni)

$$\sigma_{\delta R_x} \approx \frac{\delta(\text{Re}(V_{OUT}))}{\left| \frac{\partial \text{Re}(V_{OUT})}{\partial \delta R_x} \right|}$$

$$\approx 0.7 \text{ m}\Omega$$

$$(\approx 3 \text{ ppm per } R_x \approx 233 \Omega)$$

Richiesta relazione Esp. 9-10: Amplificatore differenziale e ponte Wheatstone

- Implementazione circuito amplificatore differenziale
- Procedura / impostazione misura di guadagno
- Curva guadagno amplificatore differenziale, $\mathbf{G(f)}$ ampiezza e fase (diagramma Bode)
- Veloce confronto con modello / valori stimati per $r_e(i_0)$, R_s
 - NB: oltre alla conferma della teoria del circuito, curva $\mathbf{G(f)}$ fondamentale per esperienze successive
- Implementazione circuito ponte Wheatstone
- Procedure / impostazione misure e analisi con Wheatstone
 - Far vedere come esempio le diverse forma d'onda con ponte bilanciato
- Risultati (vedete scheda):
 - calcolo R_{x0}
 - Calibrazione ponte per δR_x e δC_x
 - Minimo risolvibile δR_x , δC_x